

九州産業大学 正会員 杉尾 哲
学生会員 ○ 不知治輝

1. はじめ

近年、不圧浸透層中の非定常浸透流に対するDarcy則の適用性が疑問視されているが、筆者等はこの問題を有効空隙率を一定とする従来の解析法の妥当性に重点を置いて検討しようとするものである。

本報では、二次元矩形領域内の非定常浸透を対象として、Darcy則を用いて導かれている基礎式を差分化し、有効空隙率を一定とした数値解を電算により求め、この結果を粘性流体を用いたHele-Shawモデルによる実験結果と、砂モデルによる実験結果と比較した上でここに報告させて頂きたい。

2. 基礎式及び理論数値解と実験結果との比較

この場合の基礎式は、Laplaceの方程式と自由地下水面の方程式

$$\frac{m}{R} \frac{\partial^2 \psi}{\partial t} = \frac{\partial H}{\partial x} \frac{\partial \psi}{\partial x} - \frac{\partial H}{\partial z} \frac{\partial \psi}{\partial z}$$

であり、両式を連立して

$$t = 0 : \psi(x, 0) = H_0$$

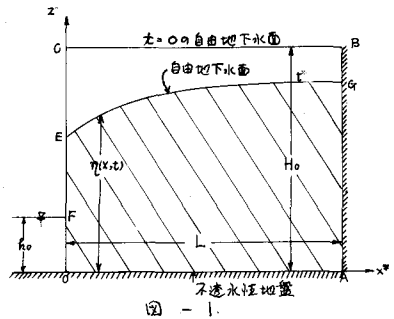
$$t > 0 : \psi(x, t) = Z, \quad 0 \leq x \leq L$$

$$H = h_0, \quad x = 0, \quad 0 \leq z \leq h_0$$

$$H = Z, \quad x = 0, \quad h_0 \leq z \leq \psi(0, t)$$

$$\frac{\partial H}{\partial x} = 0, \quad x = L, \quad 0 \leq z \leq \psi(L, t)$$

$$\frac{\partial H}{\partial x} = 0, \quad 0 \leq x \leq L, \quad z = 0$$



の条件について解けば、各時刻毎の自由地下水面の形状がえられる。ここにHは非定常速度ポテンシアル、mは有効空隙率、Rは透水係数である。

基礎式の差分化、および境界条件の処理についてはすでにわたくし(著者)が¹⁾ここで省略するが、その後、数値計算の安定条件に $\Delta t / \Delta x < 1/2$ 、 $(\Delta t = 0.005, \Delta x = 1/3)$ を用いて計算をやり直し、さらにHele-Shawモデルの実験も1/100秒計ストップウォッチを用いて実験をやり直したので、その結果を示すと、図-2.3のようになる。これより数値解とHele-Shawモデルの実験結果とは、多少の差違はあるが、全体的には非常によく一致することがわかる。またHele-Shawモデルでは、有効空隙率は常に $m=1$ の一定値であるから、この結果より数値解の妥当性が確かめられたものと考えすることもできる。

次に、図-2.3と同様の実験を砂モデルについて行なう、この実験値と数値解と比較する際の R と m の値は、透水係数の値としては、別に行なう²⁾実験的検討の結果、比較的良好に合うことが確かめられているSlichter式、Terzaghi式、佑R木式、kozeng、Donat式による孔隙率42.77%の場合の算定結果の平均値 $R = 0.29735 \text{ cm/s}$ を用いた。次に問題となるのが有効空隙率 m の値であるが、水理公式集によれば、(有効空隙率 \equiv 空隙率 $-$ 水率)であり、実験に用いた程度の砂($d_{50} = 0.72 \text{ mm}$)であれば、保水率は5~10%程度とされている。(F⁰)
よって、空隙率(42.77%)から保水率として10%を減じた値 $m = 0.32$ を用いると、図線は図-2.5.の破線のようになる。これを実験結果(実線)と比較すると両者にはかなりの相違があることがわかる。そこで保水率を20%と仮定して算定した値と与えてみたが、一見鎖線のようになり、やはりかなりの相違のみみられる。

次に実験結果と数値解が等しくなるように有効空隙率の値を連立してみると表-1,2の様になる。これEからみると、有効空隙率はすでに知られていたように³⁾、もとの地下水面からの低下量の関数であることがわかる。

次に同じ低下量を二つと観てみると、図-2の0断面の2.3秒後の地下水面の位置と13断面の20秒～48秒の位置とが同じ低下量であるが、表-1より有効空隙率の値は異なっていることがわかる。このことから有効空隙率の値は時間の関数であることが確かめられたものと考えられる。以上のことを考慮に12今後、有効空隙率などのような関数で表わすことを検討して行きたいと考えている。

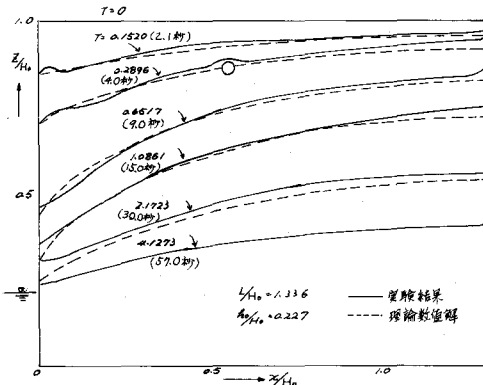


図-2 Hele-Shawモデル実験との比較

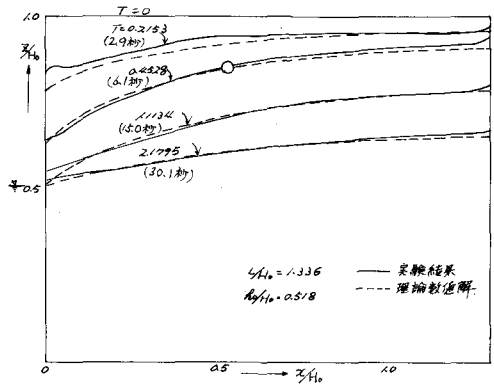


図-3 Hele-Shawモデル実験との比較

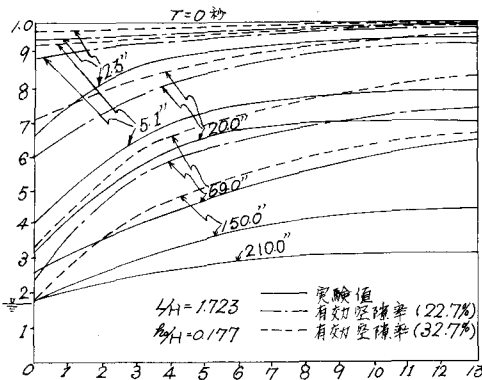


図-4 砂モデル実験との比較

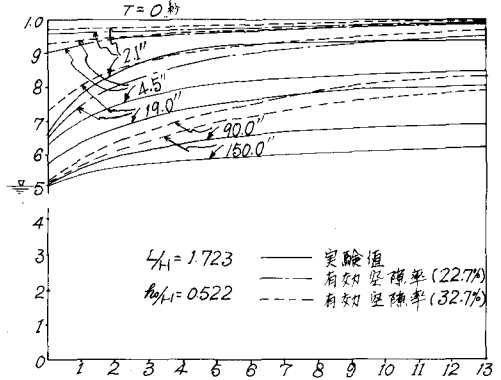


図-5 砂モデル実験との比較

断面時間(秒)	no.0	no.6	no.13
2.3"	3.2%	3.9%	3.1%
5.1"	3.2%	2.6%	2.0%
20.0"	12.2%	7.2%	5.5%
48.0"	20.7%	10.1%	10.4%
69.0"	26.0%		

表-1. $k/z/h = 0.177$ の場合の有効空隙率

断面時間(秒)	no.0	no.6	no.13
2.1"	2.6%	3.3%	2.1%
4.5"	5.0%	2.5%	1.7%
19.0"	6.4%	7.5%	5.6%
49.0"	38.2%	18.9%	

表-2. $k/z/h = 0.522$ の場合の有効空隙率

- 参考文献 1) 杉尾 哲, 本郷 治輝: 非定常流連流の数値解析, 工学会第29回学術講演会報告集 Vol. II, PP.223-PP.224
 2) 杉尾 哲: 各種の決定法による透水係数の検討, 用水と廢水 1971年(12) PP.1480~PP.1486
 3) 上田 比呂, 杉尾 哲, 土方 敬博: ミニシミュレーションによる工の有効空隙率の算定, 土木工学集報 Vol.45, No.5 PP.593~PP.598